

京都大学工学部 正員 小林昭一  
 ~ 大学院 研究員 西村直志  
 东京大学 " " 松尾哲彦

### 1はじめに

現在、地下深層掘削、原子炉地下施設などに係る大規模な地下構造物の建設が強く要請されており、技術的な面から、強度的に最も優れた空洞形状を決定することが緊急の課題となってきた。この研究は、このような観点において、積分方程式法を用いて強度的に最も優れた空洞形状を決定する手法ならびに2,3の結果について述べたものである。本研究では、簡単のために、空洞周辺地盤を等方線形弾性体と理想化し、与えられた応力場において空洞壁面上の接線応力が一定値となるような形状を数値解析的に決定することを意図した。この種の問題に用いれば、積分方程式法は極めて有効であることが判明した。

### 2 積分方程式による定式化

等方線形弾性力学の基本方程式は、直交テカルト座標系では、変位  $u_i$  は次のようになる。

$$\angle u_i \equiv (\lambda + \mu) u_{ij,j} + \mu u_{kk,k} = 0 \quad (1)$$

$i = 1, 2, 3$ ,  $\lambda, \mu$  は Lamé の定数である。コンマはそれに続く添字を持つ変数で偏微分を取ることを意味している。これに対応して、空洞の場合のこのようなオースト外部境界値問題は、一重層のボテンシャルを用いて次のように定式化される。

$$u_i(p) = \int_S T_i^{(k)}(p; g) \varphi_k(g) dS, \quad p \in D, \quad g \in S \quad (2)$$

$$t_i(p) = -\frac{1}{2} \varphi_i'(p) + \int_S T_{ii}^{(k)}(p; g) \varphi_k(g) dS, \quad p, g \in S \quad (3)$$

$$t_i(p) = \left\{ T_{ij} u_j(p) \right\}_e, \quad p \in S, \quad T_{ij}'' = \mu \delta_{ij} \frac{\partial^2}{\partial x_i^2} + \mu n_j \frac{\partial^2}{\partial x_i \partial x_j} + \lambda n_i \frac{\partial^2}{\partial x_j^2}, \quad (4), (5)$$

$$T_{ij} = S_{ijk} u_k \equiv \lambda \delta_{ij} u_{kk} + \mu (u_{ij,j} + u_{jj,i}), \quad T_{ii}^{(k)}(p; g) = T_{ij}'' T_j^{(k)}(p; g) \quad (6), (7)$$

$$\angle T_j^{(k)}(p; g) = -d(p-g) \xi_k \quad (8)$$

$i = 1, 2, 3$ ,  $t_i$  は表面力,  $\varphi_i$  は応力,  $\varphi$  はボテンシャルの密度,  $\delta_{ij}$  は Kronecker デルタ,  $T_{ij}^{(k)}(p; g)$  は式(1)の基本解,  $T_{ij}''$ ,  $S_{ijk}$  は線形算子である。また,  $\{ \cdot \}_e$  は外部境界へ、極限操作を意味し、 $\xi_k$  は  $k$ -方向への単位ベクトルを意味している。

積分方程式法は、式(3)を満たす  $\varphi_k(g)$  を求めるところに帰着される。この  $\varphi_k(g)$  が定まれば、これを式(2)に入れて変位が求められ、さらに式(6)より応力が求められることになる。数値計算では、境界  $S$  を有限個の面、線(以下要素と呼ぶ)に分割し、各要素上の密度を直ちに仮定するが普遍である。以下では、境界を多角形で近似し、各要素上で密度は一定とした。また、式(2), (3)の積分項に関しては、精度と計算速度とを何よりも重視する目的で、積分は解析的に正確に行なった。なお、計算精度は、例えば一軸応力場内、円孔では、応力は 0.1% 精度の誤差であった(計算時間は約 1 秒)。

### 3 形状の決定方法

形状を決定するための解法の基本的な考え方は、空洞の境界を逐次的に修正して行って応力集中を減少させ、接線応力が境界線上の全ての点で一定となるまで修正を繰り返していく繰り返し手順である。

境界の修正方法はいろいろと考えられるが、ここでは次のようにした。まず、無次元パラメータ

$$\varepsilon_i = \frac{1}{2} (1 - \alpha_i) \quad (9)$$

を導入した。ここで、 $\varepsilon_i$  は境界上の応力を示し、添字  $i$  は要素番号、 $\alpha_i$  は基準となる要素番号である。

もし  $\varepsilon_i$  を要素ごとに直交座標系移動作用素  $D$  を導入すると、 $i$  要素の次々節点の座標  $\bar{x}_{i+1}$  は、次式により座標  $\bar{x}_{i+1}$  に移動する（簡単のために不次元問題を考えた）。

$$\bar{x}_{i+1} = (\mathbf{I} + D) x_{i+1} \quad , \quad \mathbf{I} : 単位テンソル \quad (10)$$

この座標  $\bar{x}_{i+1}$  を新しい節点として積分方程式を解く。この操作を繰り返して、境界節点の座標を逐次的に修正していくと、次第に与えられた境界応力条件を満す形状に近づくことになる。

#### 4 計算例

平面ひずみ状態と仮定し、与えられた応力場  $\tau$  に対する、境界上の接線応力が一定となる空洞形状の例を以下に示す。

$$(1) \quad \tau = \begin{bmatrix} a & 0 \\ 0 & 1.0 \end{bmatrix}, a > 1.0 \quad (\text{図-1})$$

$$(2) \quad \tau = \begin{bmatrix} b x_2 + 1.0 & 0 \\ 0 & 1.0 \end{bmatrix}, b > 0 \quad (\text{図-2})$$

$$(3) \quad \tau = \begin{bmatrix} c x_2 + 2.0 & 0 \\ 0 & 1.0 \end{bmatrix}, c > 0 \quad (\text{図-3})$$

$$(4) \quad \tau = \begin{bmatrix} d x_2 + 1.0 & 0 \\ 0 & 2.0 \end{bmatrix}, d > 0 \quad (\text{図-4})$$

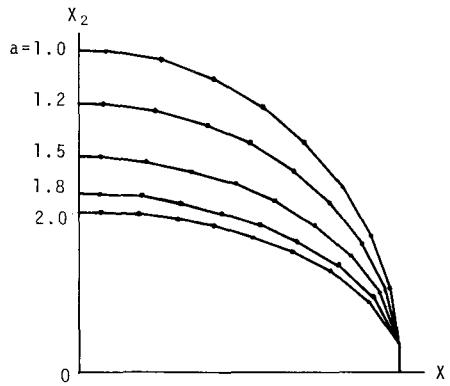


図-1

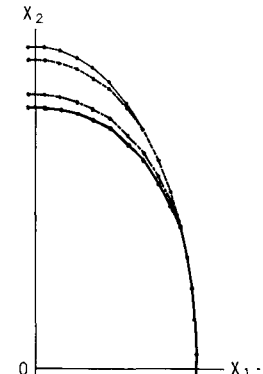


図-4

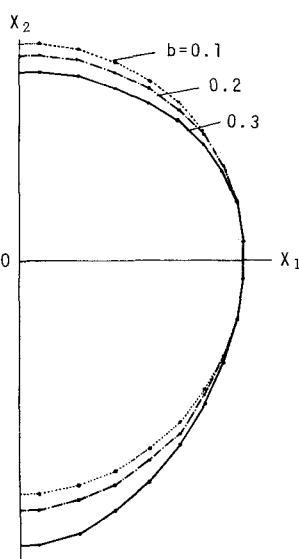


図-2

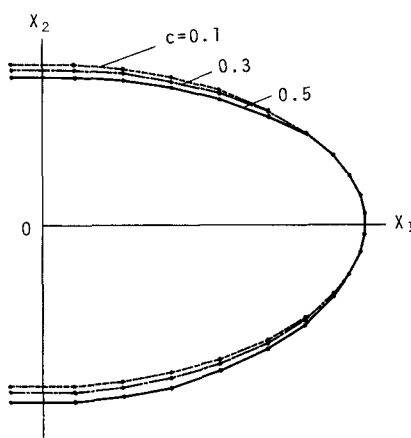


図-3